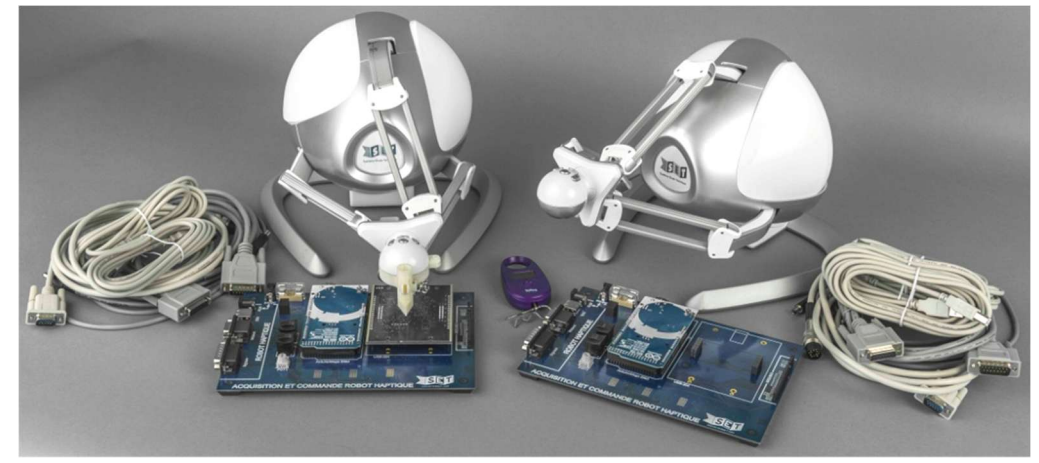
Livret de présentation pédagogique Bac général spé-SI CPGE







UN PRODUIT TECHNOLOGIQUE REEL

Le robot haptique proposé par SET est issu de l'univers du jeu en réalité virtuelle sur ordinateur. Son concept, ses performances et sa souplesse d'emploi en ont fait très rapidement un outil très prisé, en particulier dans la recherche, dans des domaines tels que l'entraînement en réalité virtuelle ou en réalité augmentée pour des applications médicales ou de téléopération.

ADAPTE AUX ENSEIGNEMENTS DE SCIENCES DE L'INGENIEUR EN BACCALAUREAT GENERAL, EN CLASSE PREPARATOIRE AUX GRANDES ECOLES.

Sa conception originale, de type robot delta comportant 3 chaînes cinématiques fermées, avec moteurs + codeurs, asservies en position ou en effort, lui permet de fonctionner aussi bien en interface haptique qu'en robot.

Il offre ainsi de nombreuses potentialités pédagogiques dans les différents niveaux de formation visés, tant en activités d'investigation qu'en activités de projet, grâce à des ensembles de didactisation spécifiques.



Afin de donner un aperçu des potentialités pédagogiques du produit "Robot haptique", ce livret présente des extraits des activités pratiques ou dirigées incluses dans la fourniture de la société SET, intégrant les corrigés, les fichiers de modèles et applicatifs logiciels liés aux activités.

Le produit "Robot haptique" est actualisé régulièrement, les activités et les éléments matériels livrés peuvent légèrement différer par rapport aux aperçus de ce livret.



Baccalauréat général



Bras 1

Bras 3

Compétences et connaissances visées

Exemples d'activités pédagogiques proposées

ROBOT GRANDEURS-MECA-FLUX

Première partie : Identifier les grandeurs mécaniques d'entrée et de sortie.

Les pièces	Les mouvements		
Bras 1	Mouvement de rotation autour de l'axe 1		
Bras 2	Mouvement de rotation autour de l'axe 2		
Bras 3	Mouvement de rotation autour de l'axe 3		
Effecteur	Translation suivant les axes x, y et z		

Expliquer la transformation de mouvement entre l'entrée et la sortie du mécanisme.

Le mécanisme transforme avec les trois chaines de transmission les trois rotations des trois bras en une translation de l'effecteur sur les trois axes (x. y, z).

Thème: **ANALYSER UN PRODUIT**

MODELISER ET RESOUDRE LES EQUATIONS

CARACTERISER LES **GRANDEURS PHYSIQUES EFFORT-FLUX**

Deuxième partie : Rechercher la position de la pointe de l'effecteur en fonction de la géométrie d'une chaine de transmission et des positions angulaires θ_{1i} , θ_{2i} , θ_{3i} .

Avec l'aide du schéma ci-dessous représentant une chaine de transmission, déterminer les formules littérales pour obtenir la cote « p » sur les axes choisis.

La cote P sur l'axe U _i	La cote P sur l'axe V _i	La cote P sur l'axe W _i	
		D	
		$P_{W_{i}}$	
$=a*\cos(\theta_{1i})+(d+e+b*\sin((\theta_{3i}))$		$=a*\sin(\theta_{1i})+(d+e+b*\sin(\theta_{3i}))$	
$*\cos(\theta_{2i})+r-c$		$*\sin(\theta_{2i})$	
La cote $P = \sqrt{(P_{11}^2 + P_{12}^2 + P_{12}^2)}$			

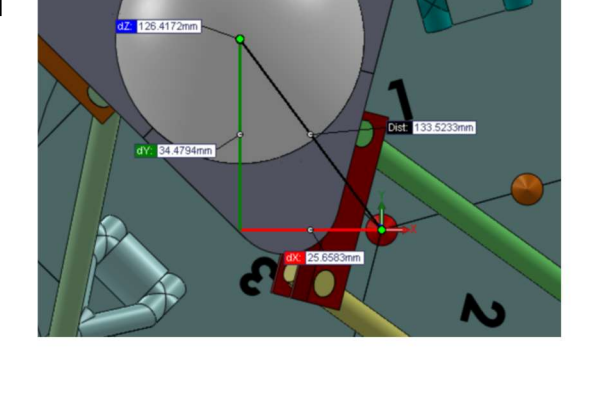
Déterminer les cotes du point P dans le repère (x, y, z) Pour le moteur 1 ($\varphi_1 = 105,56^{\circ}$), prenez $\theta_{11}, \theta_{21}, \theta_{31}$ les angles de la chaine n°1

Pour le moteur 2 ($\varphi_2 = 225,56^{\circ}$), prenez $\theta_{12}, \theta_{22}, \theta_{32}$ les angles de la chaine n°2

Pour le moteur 3 ($\phi_3 = -14,44^{\circ}$), prenez $\theta_{13}, \theta_{23}, \theta_{33}$ les angles de la chaine n°3

	ξΦ; ¡Px	X
Y	La cote P sur l'axe Z]
		71

La cote P sur l'axe X	La cote P sur l'axe Y	La cote P sur l'axe Z		
$P_X = P_{Ui} * cos(\phi_i) - P_{Vi} * sin(\phi_i)$	$P_{Y} = P_{Ui} * sin(\mathbf{\Phi}_{i}) + P_{Vi} * cos(\mathbf{\Phi}_{i})$	$P_Z = P_{Wi}$		
La cote $P = \sqrt{(P_X^2 + P_Y^2 + P_Z^2)}$				



Les cotes indispensables

a =	60
b =	102,5
c =	14
d =	11,25
e=	11,25
f=	25
r=	37,23
s =	27 33

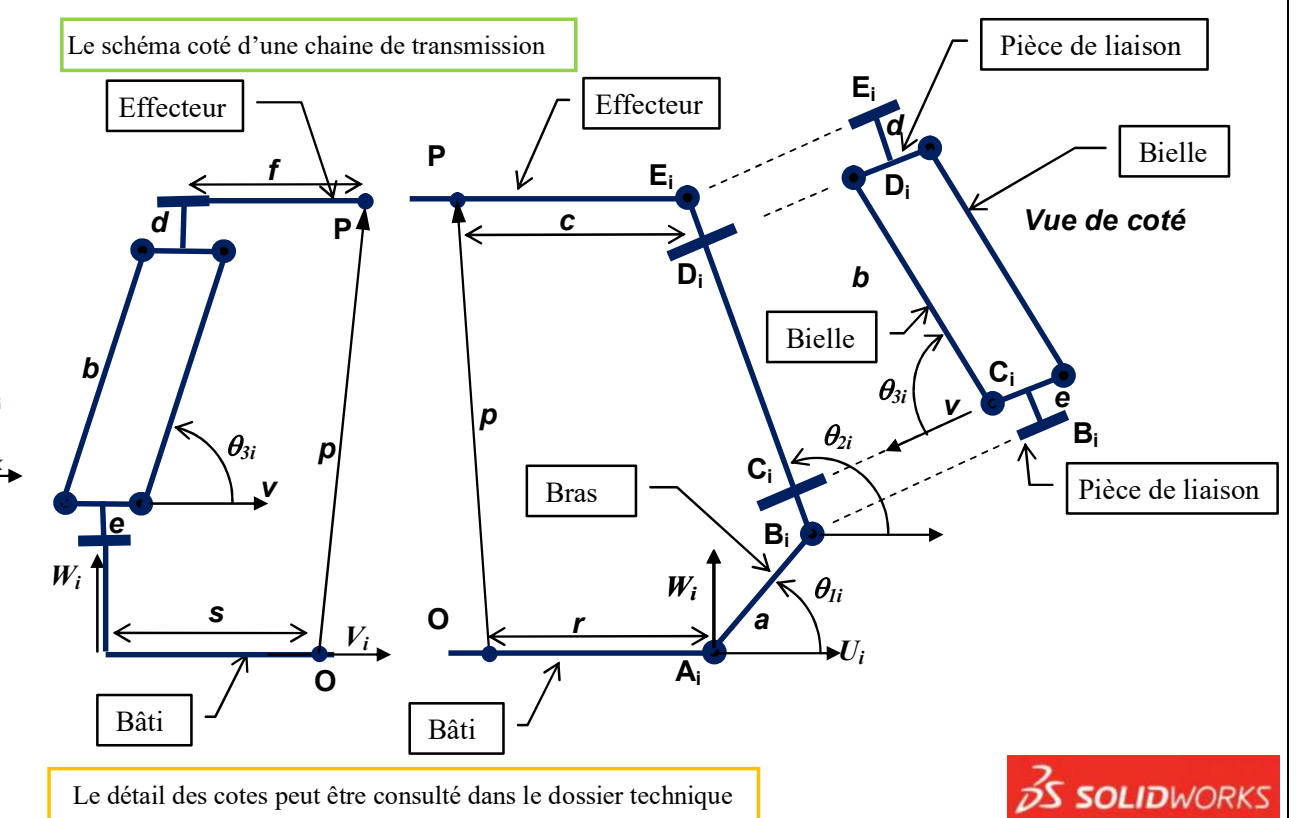
L'effecteur

Décalage phi moteur 1 = Décalage phi moteur 2 = Décalage phi moteur 3 =

Le détail des cotes peut être consulté dans le dossier technique

105,56° 225,56°

-14,44°





Robot haptique Baccalauréat général



Compétences et Exemples d'activités pédagogiques proposées connaissances visées ROBOT_SCHEMA1 Etude de chaîne cinématique Compléter le schéma cinématique Pivot d'axe 1 En vous aidant du système pour déplacer la sphère comme vous le souhaitez (dans Les axes de la chaine n°1 Pivot moteur la limite du fonctionnement du robot) et des vidéos proposées (toutes avec le même mouvement), identifier les liaisons entre les différentes classes d'équivalence et Axe 2 Pivot d'axe 2 compléter le graphe des liaisons Thème: ANALYSER-MODELISER UN Chaine 2 **MECANISME** Axe moteur Bielle 1 Axe 1 Rotor 1 Modéliser sous une forme graphique un mécanisme : Effecteur Pièce de Pièce de Bâti - Schéma cinématique La chaine n°1 - Graphe de liaisons et des Pivot d'axe 2 actions mécaniques Bielle 2 Bras 1 Chaine 3 Pivot d'axe 1 Pivot d'axe 2 Pivot d'axe 2 Pivot d'axe 2 Pivot d'axe 1 Chaine 1 σ**S SOLID**WORKS Vérifier que le déplacement effectué par l'effecteur est compatible avec les caractéristiques données par le ROBOT SCHEMA2 Vérifier le volume de travail du robot fabricant, cad un cube de cotes intérieures 101mm. Ouvrir le modèle Solidworks simplifié et assembler la chaîne 1 Dans un premier temps, vous pouvez déplacer manuellement l'effecteur et vérifier la position qu'il peut prendre par rapport aux limites du cube. Que constatez-vous? Identifier le mouvement de l'effecteur L'effecteur peut se déplacer en traversant le cube => les limites du cube sont donc inférieures aux Thème: Le mouvement de l'effecteur est une translation dans l'espace possibilités de déplacement de l'effecteur. (théoriquement un cube de 101mm de coté d'après le fabricant) **VALIDER LES** Conclusion: Nous constatons que les données du constructeur ne sont pas exactes. L'effecteur ne peut pas PERFORMANCES D'UN atteindre tous les points du cube, mais en contre partie, il peut certainement atteindre des points à l'extérieur ∠ Coïncidente26 (BRAS<2>, piece de liaison<6>) du cube. La forme du volume balayé par la pointe de l'effecteur demande un travail plus poussé. PRODUIT (VOLUME DE Coaxiale20 (EFFECTEUR<1>, piece de liaison<4>) TRAVAIL) Coïncidente14 (EFFECTEUR<1>, piece de liaison<4>) Remarque: vous trouverez trois catégories de points Les points qui seront coïncidents avec l'extrémité de la pointe. O Coaxiale21 (BIELLE<4>, piece de liaison<4>) O Dans une position compatible avec le fonctionnement du O Coaxiale22 (BIELLE<4>, piece de liaison<6>) robot (ce devrait être le cas pour tous les points du cube) O Coaxiale23 (BIELLE<3>, piece de liaison<4>) Déterminer les grandeurs O Dans une position incompatible avec le fonctionnement du O Coaxiale24 (BIELLE<3>, piece de liaison<6>) géométriques et cinématiques robot (il y a des interférences entre les pièces) Coïncidente29 (BIELLE<4>, piece de liaison<6>) Les points qui ne seront pas coïncidents avec l'extrémité de la d'un mécanisme Coïncidente15 (BIELLE<3>, piece de liaison<6>) pointe (La pointe de l'effecteur ne peut pas atteindre ces points). Coïncidente16 (BIELLE<3>, piece de liaison<4>) Coïncidente17 (BIELLE<4>, piece de liaison<4>) Quantifier les écarts de Coïncidente32 (BRAS<2>,piece de liaison<6>) Coaxiale26 (BATI<1>,BRAS<2>) performances entre les valeurs O Coaxiale28 (BRAS<2>,piece de liaison<6>) attendues et les valeurs O Coaxiale25 (BATI<1>,BRAS<3>) obtenues par simulation Coïncidente19 (BRAS<1>,piece de liaison<1>) ∠ Coïncidente20 (BATI<1>,BRAS<2>) L'extrémité de cette pointe sert de référence pour vérifie **SS SOLID**WORKS



Baccalauréat général



Compétences et connaissances visées

Exemples d'activités pédagogiques proposées

Thème : **VALIDER LES** PERFORMANCES D'UN **PRODUIT (EFFORTS) PAR** LES EXPERIMENTATIONS

- Conduire des essais en toute sécurité
- Analyser des résultats d'expérimentation
- Quantifier les écarts de performances entre les valeurs attendues, les valeurs mesurées
- Rechercher et proposer des causes aux écarts de performances constatés

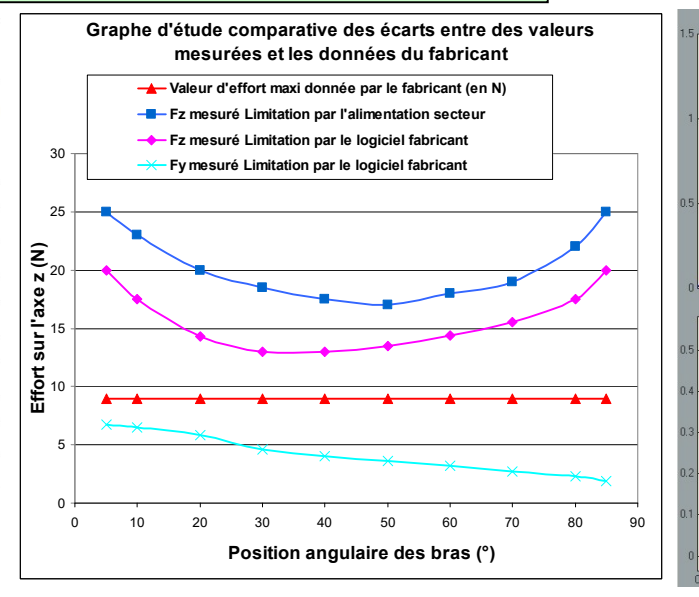
ROBOT MESURES PERFORMANCES EFFORT

Première partie: Mesure, à l'aide d'un dynamomètre, des efforts résistants pouvant être fournis par le robot en fonction de l'angle des bras et avec un effort de traction selon l'axe Z puis selon l'axe Y

- lorsque l'alimentation du robot haptique fournit son intensité maximale
- lorsque le robot haptique est géré par le logiciel pilote du fabricant

Nota: visualiser le courant fourni par l'alimentation et les courants dans les moteurs

Angle des bras (en degré)	Fz mes	Fy mesuré (N)	
	Limitation par l'alimentation secteur	Limitation par le logiciel fabricant	Limitation par le logiciel fabricant
5°	28	18	6.7
10°	26.5	17	6.5
20°	24.5	15	5.8
30°	21.8	13	4.6
40°	21.7	12	4
50°	18	13	3.6
60°	22	13	3.2
70°	26	14.5	2.7
80°	33	17	2.3
85°	35	19	1.9



Deuxième partie : Analyse des résultats expérimentaux

Constatez-vous des écarts entre les valeurs attendues et les valeurs mesurées ? Commentez vos observations en essayant de proposer des causes aux éventuels écarts et concluez.

La donnée fabricant est une constante de valeur 9N.

En traction selon l'axe Z on observe que les valeurs mesurées sont en forme de courbe en cuvette dont le minimum est toujours supérieur à la valeur fabricant.

La courbe de l'effort avec limitation par le module d'alimentation est au-dessus de la courbe avec limitation par le logiciel fabricant : on en conclut que le fabricant ne souhaite pas pousser les moteurs à leur maximum, sans doute pour les protéger d'une surchauffe en cas de blocage du déplacement. L'effort mesuré est supérieur à la donnée fabricant car les 3 moteurs agissent.

En traction selon Y la courbe avec limitation par le logiciel abricant est nettement inférieure à la donnée fabricant. Cela semble normal puisqu'un seul moteur agit.

Conclusion : l'effort maxi que peut fournir le système dépend de la direction de l'effort et de la position de l'effecteur. En fonction de ces paramètres la donnée fabricant est partiellement

Thème: **VALIDER LES** PERFORMANCES D'UN **PRODUIT (EFFORTS) PAR** LA MODELISATION

- Déterminer la grandeur effort (force ou couple) lorsque le mouvement souhaité est imposé
- Quantifier les écarts de performances entre les valeurs attendues, les valeurs mesurées et les valeurs simulées
- Rechercher et proposer des causes aux écarts de performances constatés

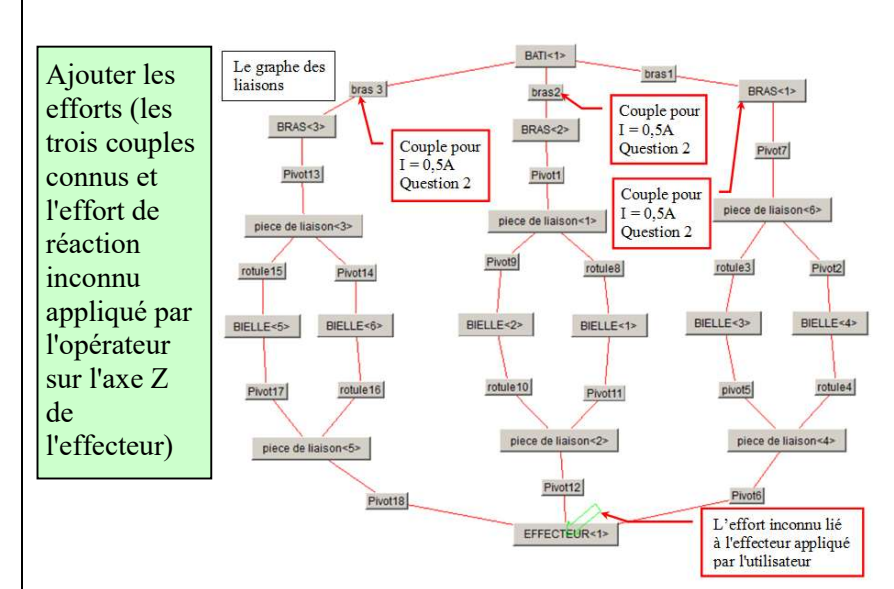
ROBOT EFFORTS SIMUL

Première partie : les paramètres de la simulation On a vu dans le TD de préparation que, lorsque la limitation de courant est assurée par l'alimentation secteur, le courant maxi dans chaque moteur vaut 0,5A et il s'ensuit que le couple maxi fourni par chacun des moteurs vaut 0,057Nm.

Déterminer l'équivalent du couple moteur appliqué sur les liaisons pivot "bras...".

Rapport de réduction entre le moteur et le bras : (56+0.25) / ((14.25+0.5)/2) = 7.627

Le couple moteur transporté sur les liaisons pivot « bras... » $C_{mot tr} = 0.057 \text{ x } 7.627 = 0.435 \text{ N.m.}$



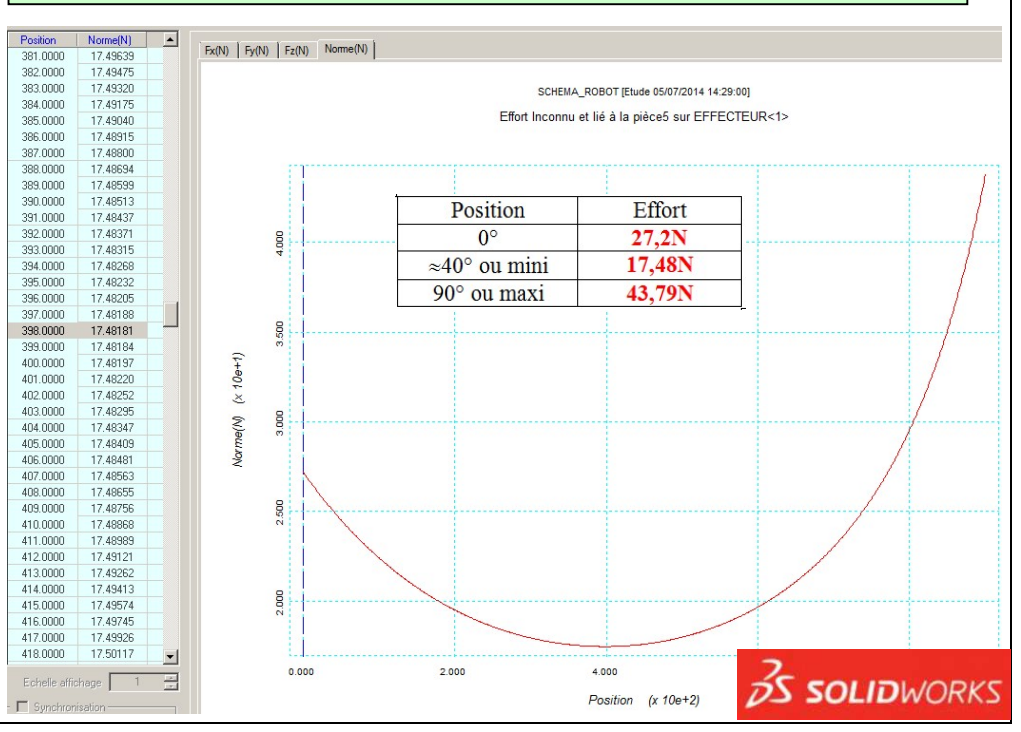
Le constructeur indique que l'effort maximal que l'on peut exercer avec l'effecteur est d'environ 9N, mais il n'indique pas la direction de cet effort ni les conditions d'utilisation du robot (limitation de courant ...). Le résultat de l'étude montre que 'effort sur l'axe z n'est pas constant, cette variation est due à la géométrie du mécanisme. Pour cette étude, l'effort minimal simulé avec Méca3D est supérieur environ le double) à celui donné par e constructeur. Pour l'effort maximal, le rapport est de plus de 4 (≈43N).

Deuxième partie : Vérification de l'effort sur l'effecteur

MATLAB

398.0000 399.0000 400.0000 401.0000 403.0000 403.0000 405.0000 406.0000 407.0000 409.0000 410.0000 411.0000 411.0000 413.0000 414.0000 415.0000 416.0000 417.0000 417.0000

Afficher la courbe de l'effort de l'opérateur sur l'effecteur et expliquer les différences.





Thème:

complète

VALIDER LES

PERFORMANCES D'UN

PRODUIT (EFFORTS) PAR

SIMULATION NUMERIQUE:

modélisation multi-physique

de la chaîne de puissance

Robot haptique

Baccalauréat général



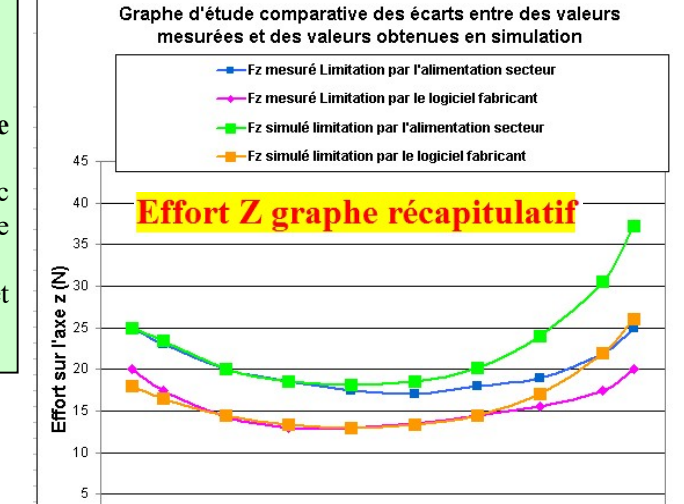
Compétences et connaissances visées

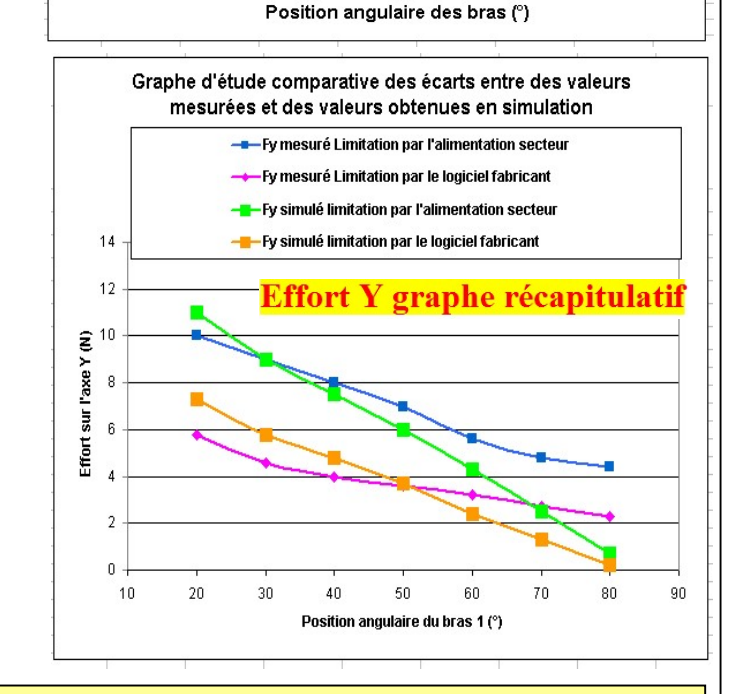
Exemples d'activités pédagogiques proposées

ROBOT_EFFORTS_ EXPLOITATION_ MODELE

Validation du modèle de connaissance fourni :

- Essai de simulation avec effort de traction dans l'axe Z puis dans l'axe Y
- Analyse des résultats et conclusion





- Mettre en oeuvre une simulation numérique à partir d'un modèle multi-physique pour qualifier et quantifier les performances d'un objet réel

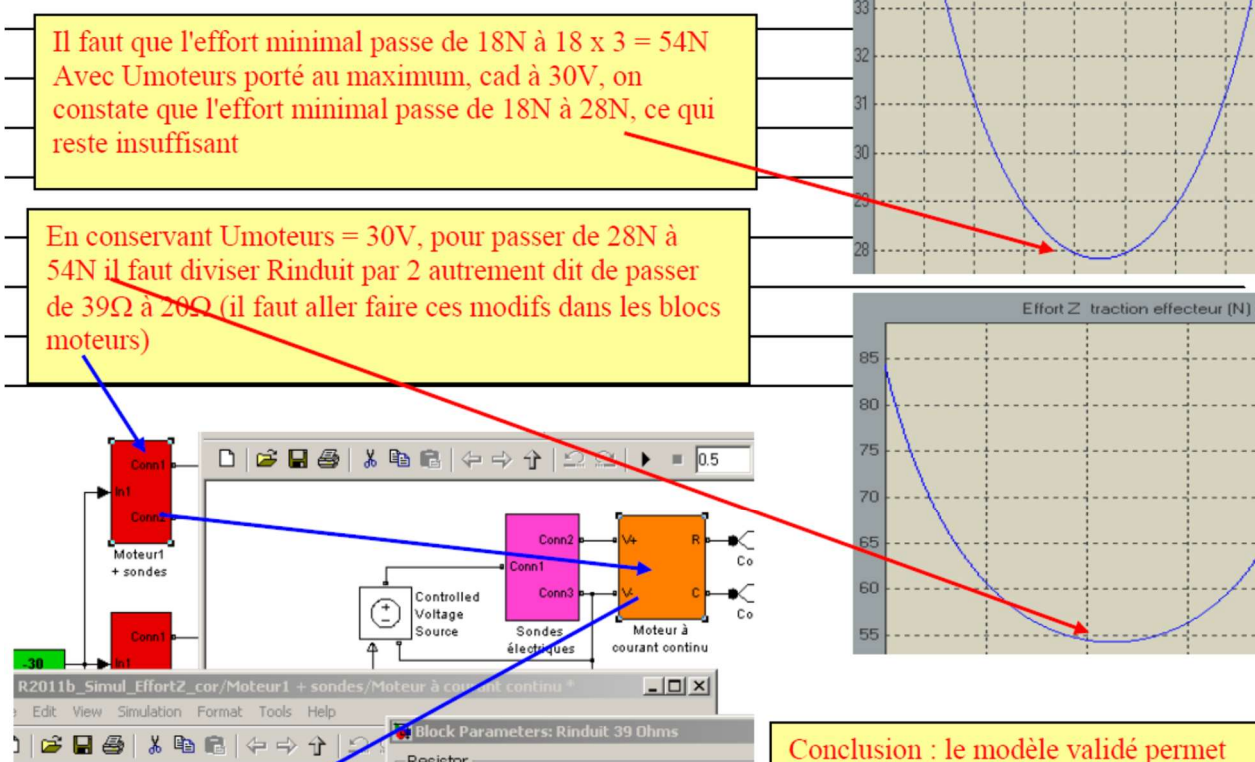
- Valider un modèle numérique de l'objet simulé
- Modifier les paramètres influents et le programme de commande en vue d'optimiser les performances du produit

Exploitation du modèle de connaissance fourni :

On a vu en TD de préparation que le système, dans son utilisation originelle en tant qu'interface haptique, fournit des efforts globalement suffisants. En revanche pour une utilisation en robot, ces efforts peuvent s'avérer insuffisants.

Sachant que les modifications de la partie mécanique imposeraient de reprendre entièrement la conception du produit et donc induiraient des coûts importants, on va rechercher quels constituants et quelles caractéristiques de ces constituants on peut modifier pour tripler l'effort minimal. On commencera par la modification la plus simple, donc la moins coûteuse.

On a vu dans la première partie que l'effort sur l'effecteur dépend du couple rotor bloqué des moteurs donc de l'intensité du courant qui les traverse. Sachant que cette intensité dépend de la tension d'alimentation et de la résistance d'induit, on peut agir sur la tension en l'augmentant, sachant qu'on est limité à 30V, et sur la résistance d'induit en la diminuant, sachant que cela impose de remplacer les moteurs.



The voltage-current (V-I) relationship for a lir

The positive and negative terminals of the resconvention, the voltage across the resistor is

flowing through the device from the positive t

39

absorbed by a resistor is always positive

w source for Resistor

Resistance

Que ce soit dans l'axe Z ou dans l'axe Y on constate que l'allure des efforts obtenus en simulation est très voisine de l'allure des efforts mesurés : en cuvette pour traction dans l'axe Z et linéaire pour l'axe Y. Les écarts sont assez faibles entre le simulé et le réel sauf lorsque les angles dépassent 50°.

Au-delà de 50° la modélisation en traction dans l'axe Z montre une augmentation "exponentielle" de l'effort que l'on retrouve dans le réel .../.... La modélisation "Solidworks-Meca3D" .../...

Le réel diffère car les modèles n'intègrent pas des défauts tels que les jeux, les déformations .../...

En conclusion on peut dire que le modèle de connaissance Matlab-Simulink est validé. Ses résultats seront directement transposables sur le système réel pour des angles de bras inférieurs à 50°.



de tester facilement et avec des

modifications sans toucher au système

modélisation-simulation est donc un

résultats fiables des idées de

réel et donc sans risque. La

outil puissant de conception.

Effort Z traction effecteur (N)



Baccalauréat général



Compétences et connaissances visées

Exemples d'activités pédagogiques proposées

ROBOT ASSERVISSEMENT

<u>Deuxième partie</u>: Justification du choix de la structure en boucle fermée à l'aide d'une simulation.

Question 5:

Il est évidemment risqué de faire des modifications sur le système réel, aussi nous allons utiliser le modèle multiphysique de ce système pour mettre en évidence la nécessité d'utiliser la structure de commande adéquate.

Placer le modèle en boucle ouverte en supprimant les 3 liaisons de retour des codeurs et lancer une simulation. Observer le comportement (consigne = 80mm) et conclure.

On constate que le déplacement n'est pas du tout conforme à l'attendu, on peut même dire que le système dysfonctionne complètement. Conclusion : pour que la commande en position fonctionne il est nécessaire que le système soit bouclé par une mesure de la position de chacun des 3 bras.

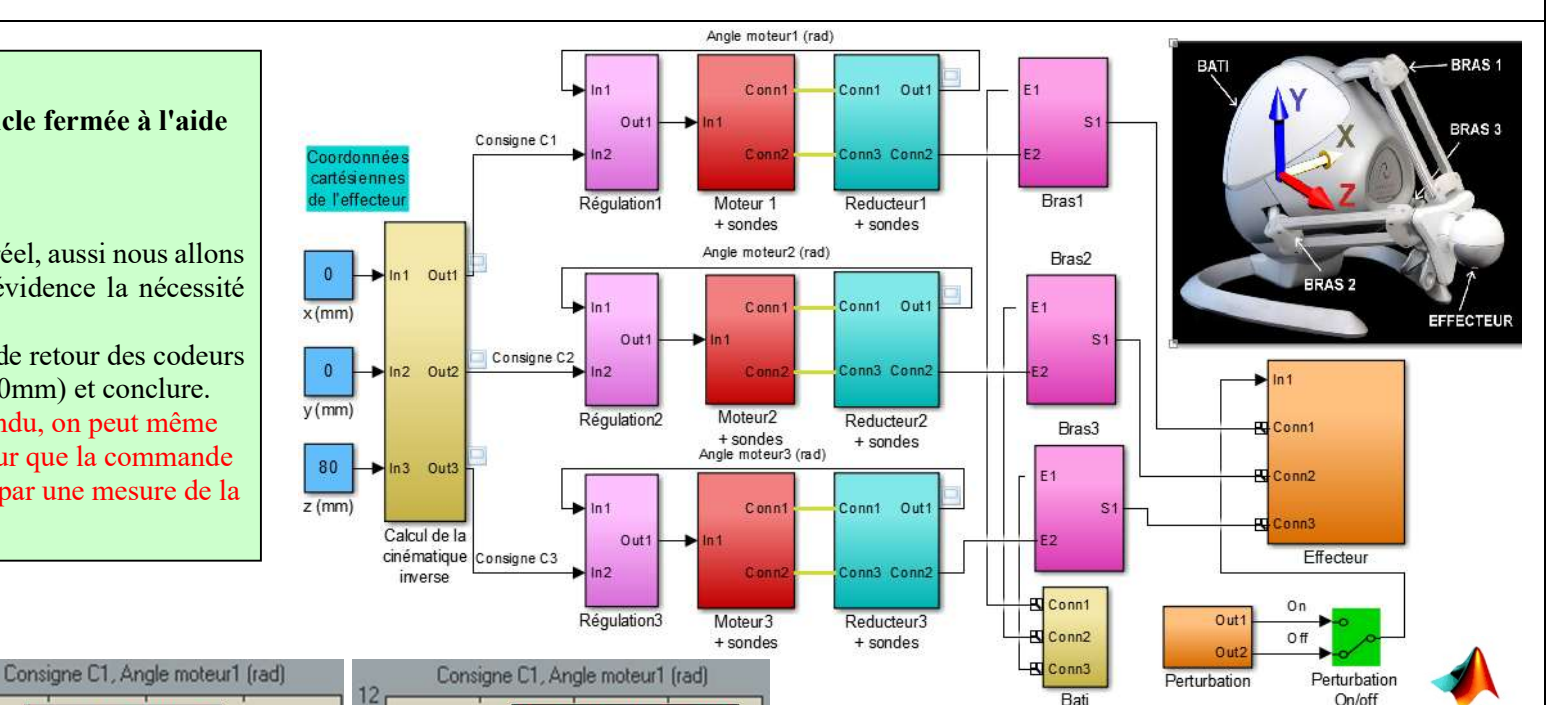
<u>Troisième partie</u>: Etude en simulation de l'influence de la configuration et des réglages sur le comportement du système

Question 6:

On testera 4 configurations possibles des correcteurs :

- P (proportionnelle) avec 2 valeurs de P
- PD (proportionnelle-dérivée)
- PI (proportionnelle-intégrale)
- PID (proportionnelle-intégrale-dérivée)

Nota : une perturbation de type effort de poussée sur l'effecteur est automatiquement appliquée au bout d'1s



Le correcteur proportionnel permet une rapidité correcte avec l'augmentation de P, mais la précision pose problème, en particulier lors de l'apparition d'une perturbation de la grandeur de sortie. L'augmentation de l'action P améliore la réponse à la perturbation mais en dégradant la stabilité donc le correcteur P ne permet donc pas d'obtenir un bon compromis précision-stabilité-rapidité et procure une faible raideur

MATLAB

Consigne C1, Angle moteur1 (rad)

Correcteur PD

Correcteur PI

Solution in the control of the c

On voit que l'action D permet de supprimer les oscillations mais ne permet pas de supprimer l'erreur statique, en particulier lors de la perturbation. Cette action permet d'obtenir une bonne stabilité mais n'agit pas sur la précision statique et la raideur. Consigne C1, Angle moteur1 (rad)

Correcteur PID

S

9.5

4

9.5

Correcteur P (P = 3)

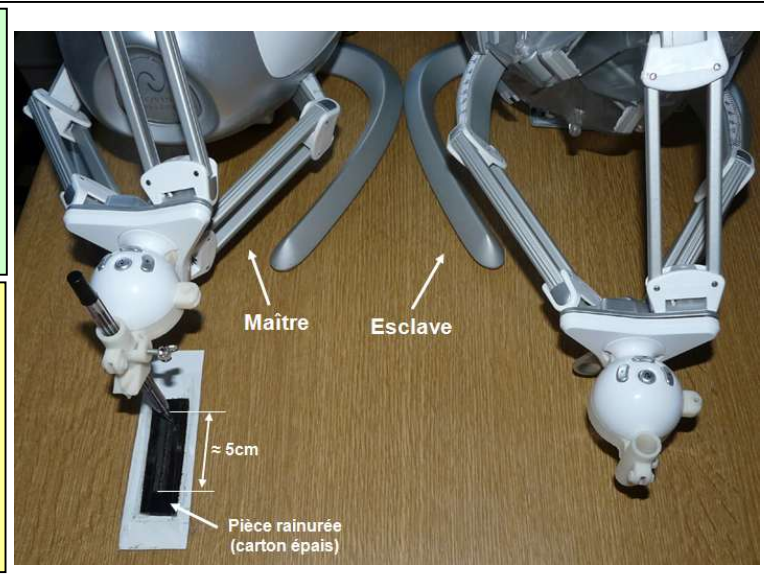
Conclusion sur les essais en simulation : Le correcteur P seul a des performances limitées, notamment en terme de précision. Le correcteur I permet d'obtenir une bonne précision, et une bonne raideur lors d'une perturbation. Le correcteur D améliore la stabilité. Conclusion : le meilleur compromis précision-rapidité-stabilité et raideur s'obtient avec un correcteur PID.

Correcteur P (P = 20)

Quatrième partie : Essais sur le système

L'objet de cette partie est d'effectuer des essais du robot avec différents correcteurs et différents réglages des paramètres de ces correcteurs afin de comparer qualitativement les résultats expérimentaux avec les résultats simulés, interpréter les écarts éventuels et conclure.

Les essais en simulation et les essais réels donnent des résultats voisins en démontrant que le choix et les réglages des correcteurs d'un asservissement sont très influents sur le comportement du système Le comportement observé avec correcteur PID répond qualitativement au cahier des charges. Il aurait fallu avoir des données quantitatives pour pouvoir conclure avec précision.



Thème : ANALYSER LE COMPORTEMENT D'UN SYSTEME ASSERVI

ANALYSER DES RESULTATS D'EXPERIMENTATION ET DE SIMULATION (MODELE MULTI-PHYSIQUE/JUMEAU NUMERIQUE)

Champ de connaissances : Systèmes asservis linéaires en régime permanent :

- structures par chaîne directe ou bouclée.
- perturbation,
- comparateur,
- correcteur proportionnel, précision (erreur statique)



Baccalauréat général



Compétences et connaissances visées

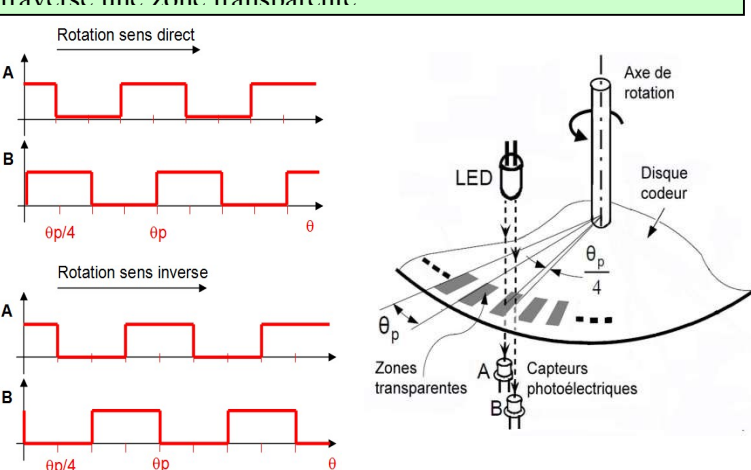
Exemples d'activités pédagogiques proposées

ROBOT CODEURS ACQUISITION POSITION (ACTIVITE DIRIGEE)

Question: Principe du codeur incrémental

Partant du croquis ci-dessous, représenter les diagrammes des signaux A et B en fonction de l'angle de pas □p pour les deux sens de rotation du disque, sachant que :

- Le sens positif ou direct correspond au sens inverse des aiguilles d'une montre
- Les signaux A ou B sont à 1 lorsque le faisceau lumineux traverse une zone transparente



Thème Spé-SI: **ANALYSER-MODELISER UN** SYSTEME LOGIQUE **EVENEMENTIEL**

- Traduire le comportement attendu ou observé d'un objet
- Analyser le comportement d'un objet à partir d'une description à événements discrets (Diagramme états-transitions)
- Valider les performances d'un produit par simulation numérique

ROBOT CODEURS TRAITEMENT POS ITION (ACTIVITE DIRIGEE)

Question: à partir des chronogrammes établis dans le TD ROBOT CODEURS (cf cidessuus) rechercher les équations « sens direct » et « sens inverse ».

On constate que la relation entre le sens de rotation du disque et les signaux YA et YB en sortie de codeur est de type « séquentiel » car le sens dépend de l'état des signaux YA et YB à un instant donné et de leur état dans le quart de période précédent.

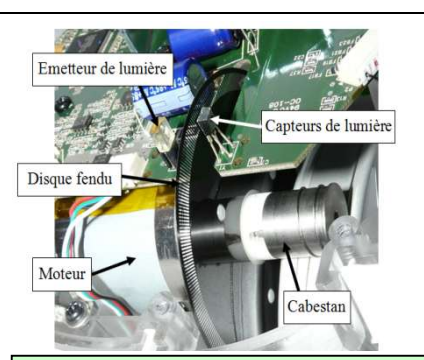
Exemple : on YA = YB = 0 :

- Si, dans le quart de période précédent, on avait YA = 0 et YB = 1 => sens direct
- Si, dans le quart de période précédent, on avait YA = 1 et YB = 0 => sens inverse

On définit les variables suivantes :

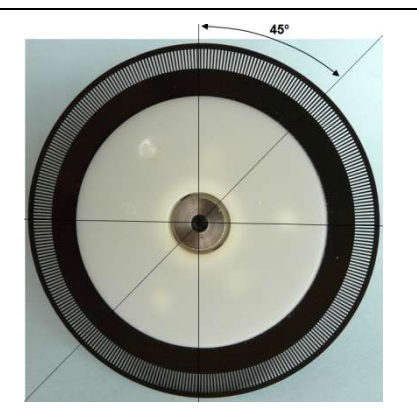
A, B → états de YA et YB à un instant donné AntA, AntB → états de YA et YB un quart de période avant

Rechercher les équations de « sens direct » et « sens inverse » en fonction des variables cidessus:



Question : Caractéristique technique Compter le nombre de fentes (ou zones transparentes) des codeurs du robot (cf photo d'un disque ci-contre). En déduire la valeur de θp .

Le disque comporte 320 fentes, donc θ p vaut $360/320 = 1,125^{\circ}$



Question : Traitement de l'information Les signaux de sortie de chaque codeur sont traités afin de générer l'information de nosition angulaire du disque et l'information de sens de rotation

Comment procède-t-on pour obtenir l'information de position avec la meilleure précision (ou résolution)? Pour obtenir l'information de position avec la meilleure précision (ou résolution) il faut détecter tous les fronts montants et descendants sur chacune des voies A et B, ce qui donne 4 fronts pour un déplacement égal à θ p, soit 320 x 4 = 1280 impulsions par tour. L'information de position est obtenue par le comptage des fronts, d'où l'appellation incrémental et elle est de type numérique.

Traitement d'information ►Détection front montant Information de fronts position Détection front descendant Codeur Information Détection front montant (Front montant A) et (B à 1) => sens négati[2

(AntA ET AntB ET A ET B) OU (AntA ET AntB ET A ET B)

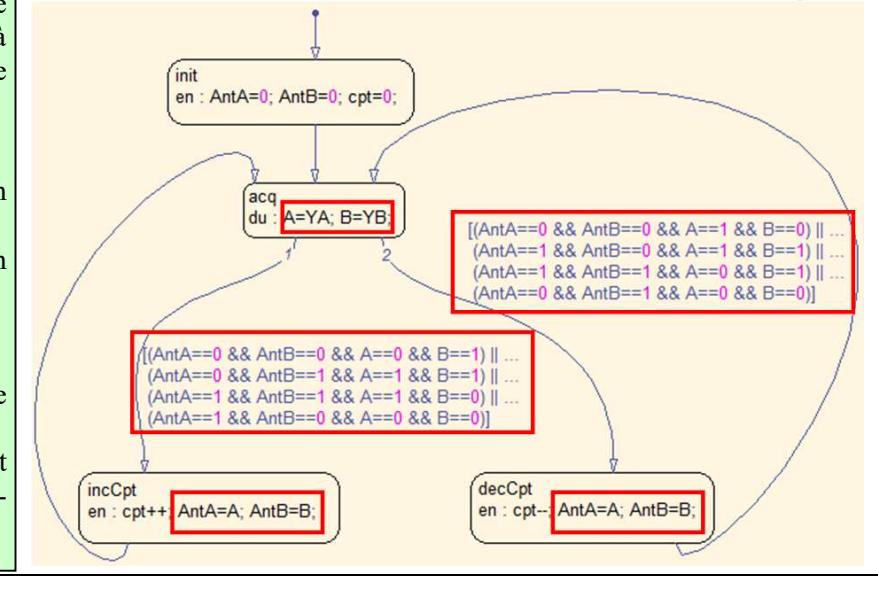
OU (AntA ET AntB ET A ET B) OU (AntA ET AntB ET A ET B)

Sens direct = (AntA ET AntB ET A ET B) OU (AntA ET AntB ET A ET B) OU (AntA ET AntB ET A ET B) OU (AntA ET AntB ET A ET B)

Question: Implémentation dans Matlab-Simulink-Stateflow

- -a- Compléter le diagramme d'états dans Stateflow afin de réaliser le fonctionnement étudié question 1.
- -b- Lancer la simulation et mettre au point si nécessaire en vérifiant si les signaux obtenus sur le scope sont conformes à l'attendu.

Pulse Generato Pulse





Thème:

PRODUIT

VALIDER LES

Robot haptique

Baccalauréat général



Compétences et connaissances visées

Pour les expérimentations suivantes on va réaliser la mise en œuvre d'un système de télémanipulation ou télérobotique tel qu'il est représenté ci-contre.

- Conduire des essais en toute sécurité

PERFORMANCES D'UN

- Mettre en oeuvre un protocole expérimental
- Quantifier des écarts de performances entre des valeurs attendues et des valeurs mesurées
- Rechercher et proposer des causes aux écarts de performances constatés

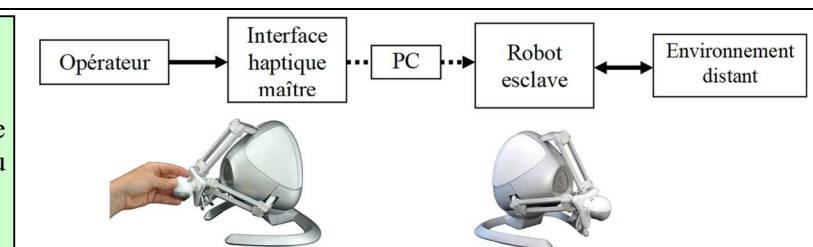
ROBOT MESURES PERFORMANCES POSITION **Protocole expérimental:**

Deuxième partie : Vérification de la performance en

résolution de position donnée par le fabricant

On se propose, par quelques essais, de vérifier si la valeur de résolution >400 dpi donnée par le fabricant est atteinte. On a vu dans le TD de simulation « Analyse résolution » que la résolution de la mesure de position était la plus faible dans la zone de mi-course pour un déplacement rectiligne selon l'axe z (avec x = 0 et y = 0). On se placera donc dans cette zone de « cas le plus défavorable » pour nos essais. Placer successivement sous le stylo des objets plats d'épaisseur connue telle qu'une feuille de papier « bristol » (carte de visite), une règle plate d'environ 1mm d'épaisseur, une boite d'environ 10mm de hauteur.../...

Calculer l'épaisseur de l'objet. Il convient de faire 3 mesures pour chaque objet. Analyser et conclure quant au respect de la résolution mini donnée par le fabricant.



Exemples d'activités pédagogiques proposées

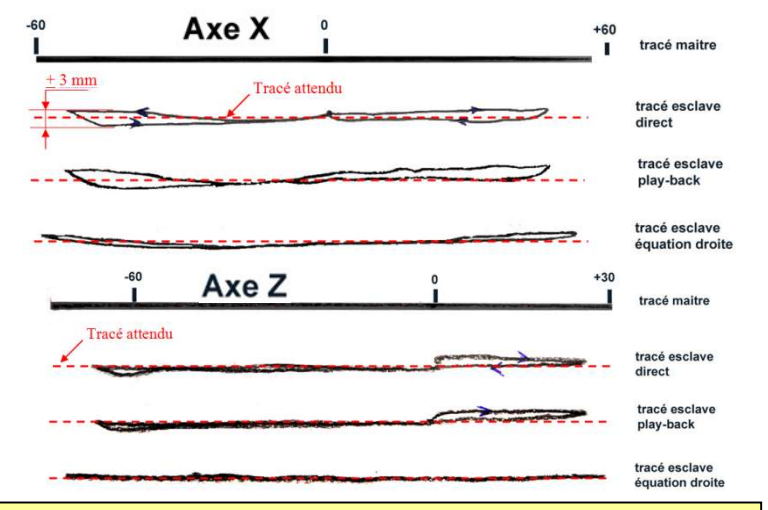
	Epaisseur connue	Mesure1	Mesure2	Mesure3	Conclusion
Objet 1		10420-	10387-	10336-	La hauteur est obtenue entre +1 et -27
Bristol	120	10318	10294	10215	microns donc OK par rapport à la résolution
		102	93	121	de 70 microns
Objet 2		10445-	10516-	10464-	La hauteur est obtenue entre +36 et -52
Règle	1900	8597	8587	8528	microns donc OK par rapport à la résolution
		1848	1929	1936	de 70 microns
Objet 3		10423-	10142-	10539-	La hauteur est obtenue entre +127 et -142
Plaque	10000	296	284	565	microns done NOK par rapport à la
		10127	9858	9974	résolution de 70 microns

Les mesures permettent de valider la valeur de résolution donnée par le fabricant pour des déplacements faibles (<2mm) et pour la zone articulière de fonctionnement utilisée. Il ne s'agit donc pas d'une ralidation globale. D'autre part la répétitivité n'est correcte que si on rattrape les jeux au maximum.

Troisième partie : Performances de restitution de position en mode télérobotique

1- Tracé d'une droite parallèle à l'axe X : Faire exécuter à l'esclave une trajectoire rectiligne à partir d'un fichier de référence comportant les coordonnées exactes d'une droite selon X.

2- Idem pour une droite parallèle à l'axe Z



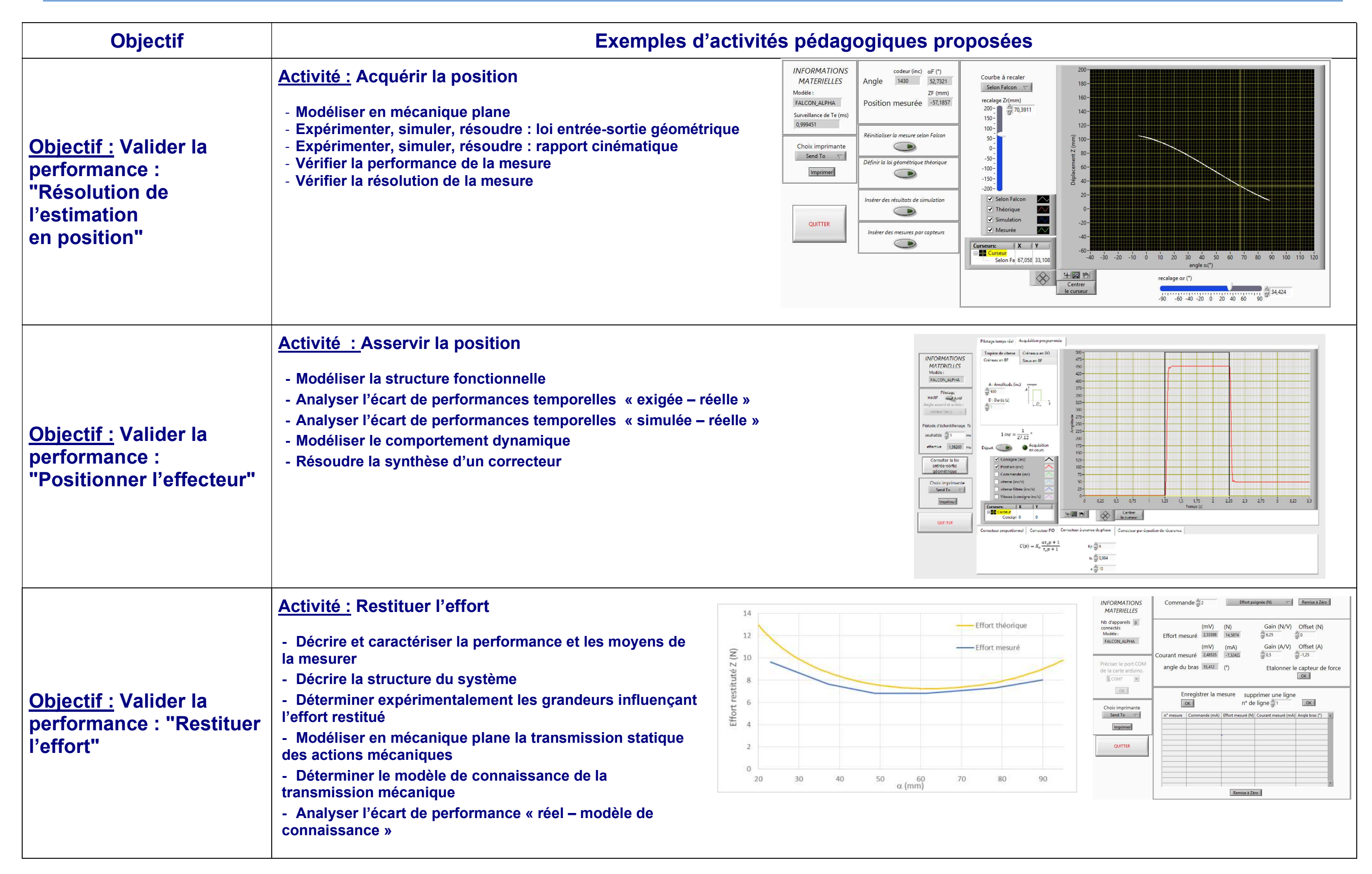
On constate que les écarts par rapport à la trajectoire attendue selon Z sont plus réduits que pour la trajectoire selon X. L'exécution par l'esclave d'une trajectoire modélisée parfaitement rectiligne est quasiment une droite.

Conclusion : Les écarts entre le théorique et le réel dépendent des directions de déplacement. Cela confirme que ces écarts sont bien dûs aux jeux mécaniques qui sont sollicités différemment selon les trajectoires. S'il s'agissait d'erreurs dûes à la chaîne de traitement de l'information par exemple, ces écarts seraient identiques quelque soient les trajectoires.



Robot haptique CPGE





www.setdidact.com

www.setdidact.com